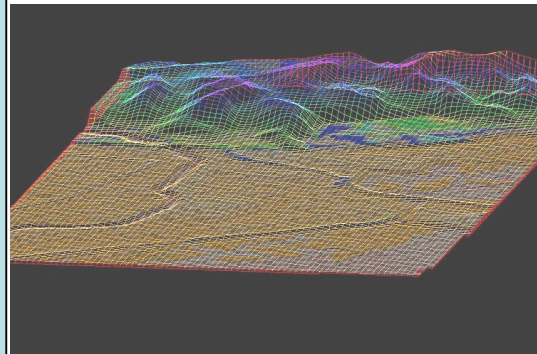
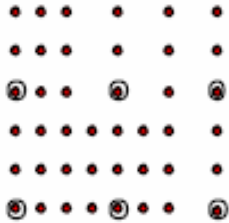
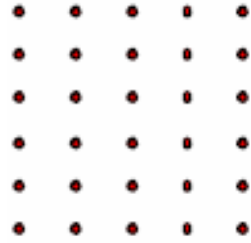
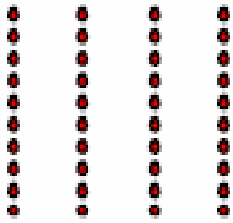
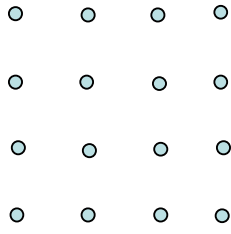
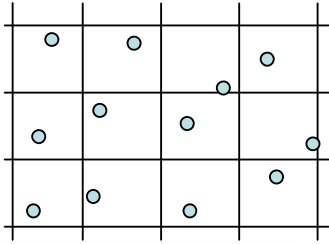
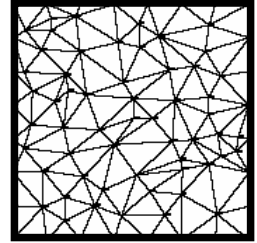
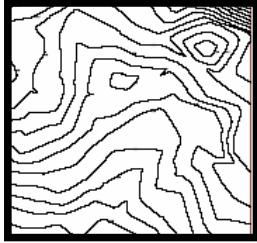
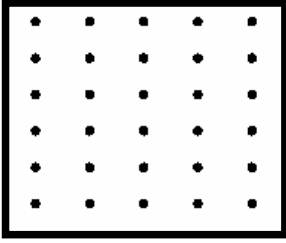


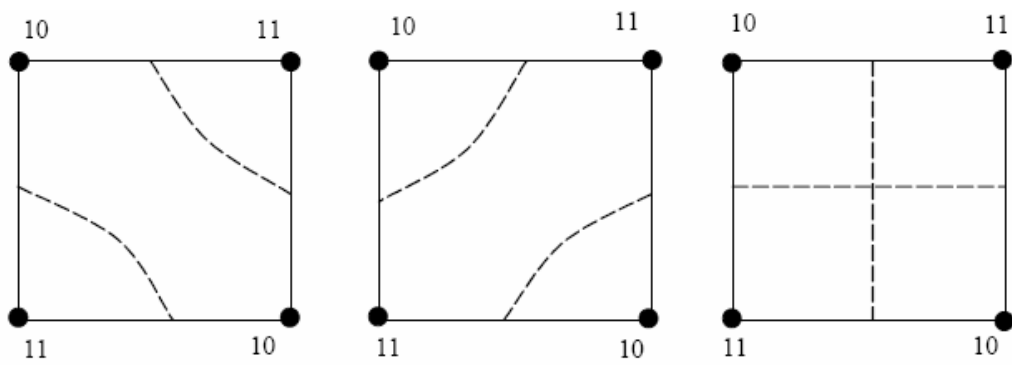
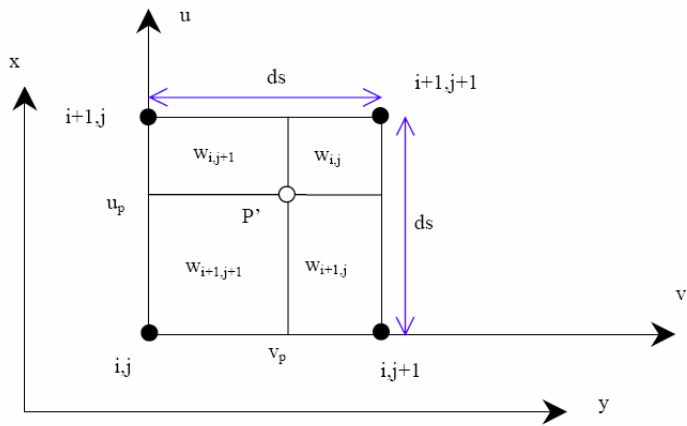
## Zakres działania fotogrametrycznej stacji cyfrowej

- Źródła obrazów: skanowane zdjęcia analogowe lotnicze i naziemne, lotnicze kamery cyfrowe linijkowe, modułowe i średniego formatu, skanery wielospektralne, kalibrowane i niekalibrowane kamery niometryczne, kamery panoramiczne
- Wyświetlanie obrazów: stereomodel, dwa zdjęcia, wiele zdjęć równocześnie, wektor 2D i 3D, rysunki perspektywiczne, przekroje i rzuty, ortoobrazy, obrazy radarowe i lidarowe
- Opracowania fotogrametryczne: orientacja wewnętrzna, wzajemna, bezwzględna, DLT, wyrównanie metodą wiązki, kalibracja kamery, opcjonalnie różne „cegiełki” obliczeń fotogrametrycznych, ortorektifikacja obrazów naziemnych, lotniczych i satelitarnych, manualne i automatyczne pozyskiwanie danych do DTM, tworzenie DTM różnych postaci (GRID, TIN, izolinie)
- Przetwarzanie obrazów: działania na histogramie, jasność-kontrast, filtracje, tworzenie piramidy obrazów i obrazów epipolarnych, mozaikowanie
- Edycja mapy wektorowej, współpraca z programami CAD i GIS

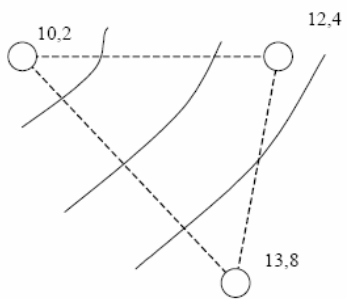
Y [m] X [m]	20	25	30	35	40	45
50	112.5 1	112.8 0	113.0 0	114.2 2	114.5 6	114.0 0
55	112.2 3	112.8 5	112.9 9	113.8 6	114.0 2	113.9 8
60	111.5 0	112.0 5	112.4 7	113.8 2	113.7 9	113.5 0
65	111.3 4	112.0 0	112.3 0	113.8 2	113.9 8	114.1 2
70	111.7 4	112.4 9	112.9 0	113.7 3	114.0 5	114.2 7



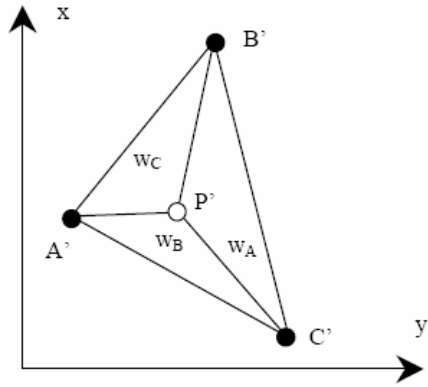
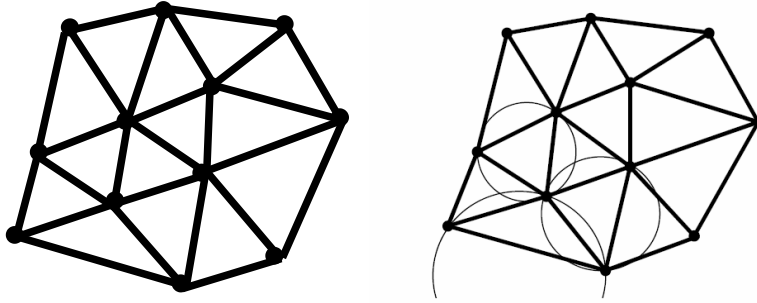




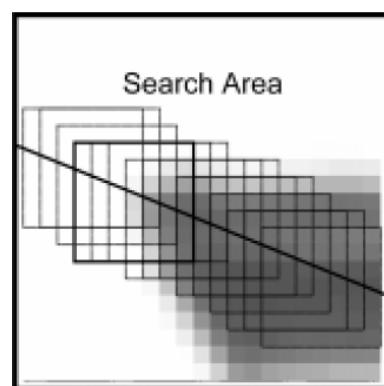
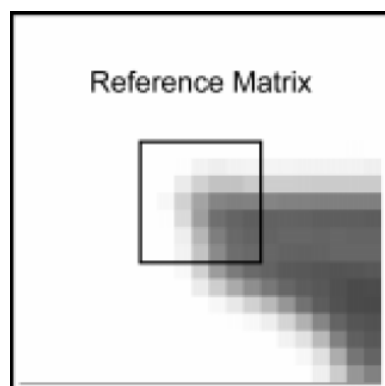
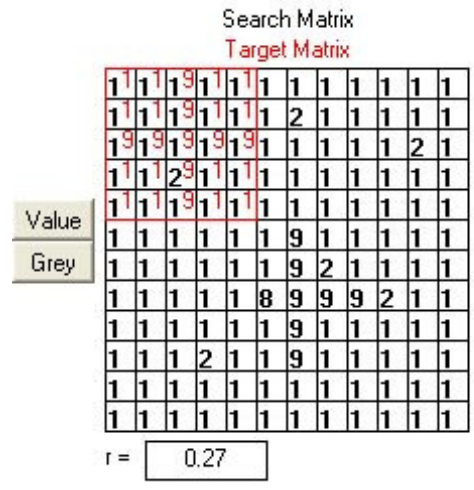
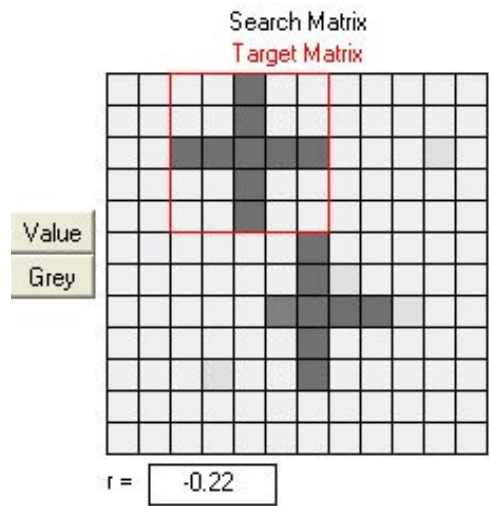
Rys. 9.20. Ilustracja możliwych niejednoznaczności przebiegu warstw w siatce regularnej

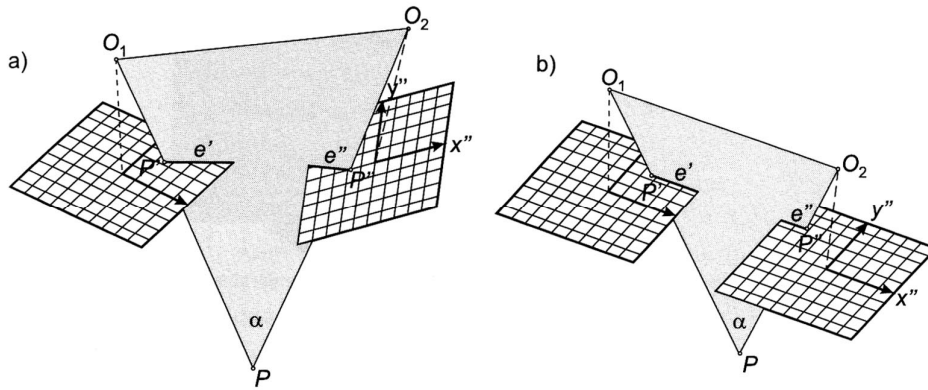
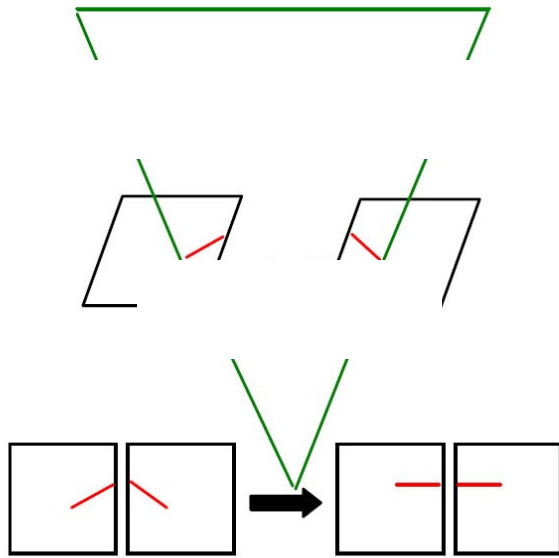


1. Ilustracja interpolacji warstw w siatce trójkątnej



$$r = \frac{\sigma_{12}}{\sigma_1 \cdot \sigma_2} = \frac{\sum_{i=1}^M \sum_{j=1}^N (g'_{i,j} - \bar{g}') \cdot (g''_{i,j} - \bar{g}'')}{\sqrt{(\sum_{i=1}^M \sum_{j=1}^N (g'_{i,j} - \bar{g}')^2) (\sum_{i=1}^M \sum_{j=1}^N (g''_{i,j} - \bar{g}'')^2)}}$$





Rys. 9.2.2. Modele stereoskopowe [Schenk 1999]: a) model przed normalizacją, b) model po normalizacji

